

## АТОМНАЯ И ЯДЕРНАЯ ФИЗИКА

УДК 539.172.3

ВОССТАНОВЛЕНИЕ СЕЧЕНИЙ ФОТОЯДЕРНЫХ РЕАКЦИЙ  
МЕТОДОМ КУСОЧНОГО ФИТИРОВАНИЯ

В. К. Гришин, Б. С. Ишханов, Г. С. Нефедов

(НИИЯФ)

E-mail: grishin@depni.sinp.msu.ru

Представлен новый итерационный метод решения некорректно поставленных задач, основанный на фитировании. Предложенный метод кусочного фитирования был апробирован при восстановлении сечений фотоядерных процессов в исследованиях с тормозными  $\gamma$ -пучками в условиях ограниченной экспериментальной статистики.

## Введение

Высокая интенсивность тормозных  $\gamma$ -пучков позволяет получать экспериментальные данные с необходимой статистической обеспеченностью. Однако получение результатов исследований осложнено формой спектра тормозного излучения. В экспериментах на тормозном пучке  $\gamma$ -излучения непосредственно измеряется не сечение  $\sigma(E)$  исследуемой реакции, а так называемая фотоядерная кривая выхода  $y(E_i)$ ,  $i = 1, \dots, m$ , связанная с сечением интегральным уравнением

$$y(E_i) = \int_{E_0}^{E_i} A(E_i, E) \sigma(E) dE, \quad i = 1, \dots, m, \quad (1)$$

где  $A(E_i, E)$  — функция, представляющая энергетический спектр тормозного  $\gamma$ -излучения [1],  $E$  — энергия  $\gamma$ -кванта,  $E_0$  — энергетический порог исследуемой реакции. Будем искать сечение в виде вектора  $\sigma = (\sigma_{E_1}, \sigma_{E_2}, \dots, \sigma_{E_n})^T$  размерности  $n$ , разбивая интересующий интервал энергий  $[E_0, E_m]$  на  $n$  равных отрезков. Тогда уравнение (1) с учетом наличия шума  $\nu$  переходит в уравнение

$$y = A\sigma + \nu. \quad (2)$$

Задача нахождения сечения из уравнения (2) относится к классу некорректно поставленных [2, 3]. Цель проводимых исследований и соответствующего математического моделирования — формирование нового, альтернативного метода решения некорректно поставленных задач, метода, основанного на фитировании (процедура подбора искомого параметра при минимизации некоего функционала).

Попытки восстановления сечений фитированием предпринимались и ранее. В работе [4] описана методика восстановления, где сечение представлялось набором резонансов, а фитированию подвергались параметры резонансов: расположение, амплитуда, ширина. При тестировании эта методика показала стабильный результат, но ее применение для экспе-

риментов с бедной статистикой затруднительно из-за возникающей неоднозначности решения. Предлагаемый метод способен давать результат с высоким разрешением по энергии, в том числе и для бедной статистики.

## Метод кусочного фитирования (МКФ)

Пусть  $\{x_1, x_2, \dots, x_k\}$  — набор искомого параметров,  $k$  — число одновременно подбираемых параметров. Для получения одного из возможных решений уравнения (2) последовательно выполняются следующие процедуры: поиск первого приближения (рис. 1, кривая 2) и затем пошаговое улучшение решения, выполняемое в цикле. Первое приближение  $\sigma_0$  строится равномерным растяжением оператором  $C$  до размерности  $n \gg k$  вектора-столбца  $\sigma_{\{x_1, x_2, \dots, x_k\}}^0 = (x_1, \dots, x_k)^T$ , найденного фитированием. Последующие приближения  $\sigma_i$  строятся из предыдущих  $\sigma_{i-1}$  и векторов  $\sigma_{\{x_1, x_2, \dots, x_k\}}^i$ , найденных фитированием. Модельное сечение  $\sigma_{\{x_1, x_2, \dots, x_k\}}^i$  конструируется из вектора приближения  $\sigma_{i-1}$ , заменой координат рабочей области случайным образом подбираемыми параметрами. При этом в цикле фитируются не все координаты сечения одновременно, а только принадлежащие выбранной рабочей области. Этим объясняется название метода, а случайный выбор рабочих областей позволяет получать набор возможных, не идентичных решений, на основе которых строится среднее сечение и коридор ошибок (рис. 1, кривая 1). Модельные сечения  $\sigma_{\{x_1, x_2, \dots, x_k\}}^i$ ,  $i = 0, \dots, p$  находятся минимизацией функционала

$$F(x_1, \dots, x_k) = \sum_{i=1}^m w_i \left( \frac{y_i - y_i^{\text{mod}}}{\delta_i} \right)^2 = \sum_{i=1}^m \left[ \left( \frac{\sqrt{w_i}}{\delta_i} \right) (y_i - y_i^{\text{mod}}) \right]^2, \quad (3)$$

где  $y_i, y_i^{\text{mod}}$  — координаты экспериментального и модельного векторов соответственно,  $\delta_i = \sqrt{y_i}$  — слу-

чайные ошибки (шум),  $i = 1, \dots, m$ . Для построения модельной кривой выхода  $y_i^{\text{mod}} = AG\sigma_{\{x_1, x_2, \dots, x_k\}}^i$  используются оператор  $A$  в соответствии с (2) и сглаживающий оператор  $G$ . От функционала метода наименьших квадратов соотношение (3) отличается присутствием весовых коэффициентов  $w_i$ , введение которых существенно повысило устойчивость решения. Весовые коэффициенты МКФ (оценка доверия к соседним интервалам) отражают степень влияния точек экспериментальной кривой на решение, позволяя тем самым извлекать максимум информации из экспериментального материала. Процедуру нахождения параметров  $\{x_1, x_2, \dots, x_k\}$  минимизации

ей функционала (3) запишем в виде

$$\|Vy - VAG\sigma_{\{x_1, x_2, \dots, x_k\}}\|_E^2 = \min, \quad (4)$$

где  $V$  определяется диагональной матрицей  $V_{m \times m}$ ,  $V_{ij} = \sqrt{w_i}/\delta_i$ ,  $i = j$ . Сформулируем МКФ на основе выбранной математической модели.

**Положение 1.** Одно из возможных решений уравнения (2) представимо в виде  $\sigma^{\text{pos}} = \sigma_p$ , где  $\sigma_i$ ,  $i = 1, \dots, p$ , — промежуточные результаты, находящиеся фитированием параметров  $\{x_1, x_2, \dots, x_k\}$  в следующей последовательности:

1.  $\sigma_0 = CG\sigma_{\{x_1, x_2, \dots, x_k\}}^0$  — первое приближение, где  $\sigma_{\{x_1, x_2, \dots, x_k\}}^0 = (x_1, \dots, x_k)^T$  — находится при условии (4),  $w_i = 1 \forall i$ ,  $i = 1, \dots, m$ .

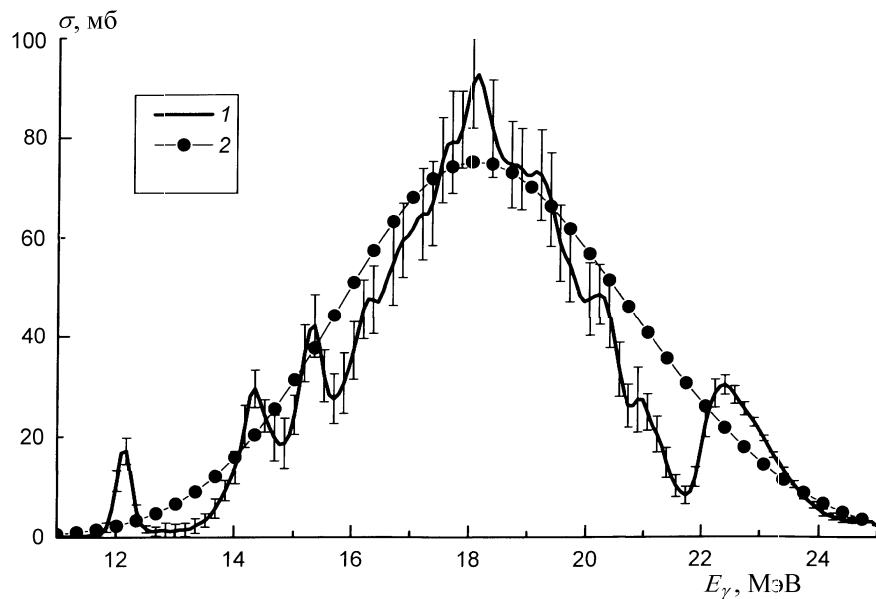


Рис. 1. Результаты обработки методом кусочного фитирования выхода реакции  $^{63}\text{Cu}(\gamma, n)^{62}\text{Cu}$  для различных значений разрешения: 100 кэВ (кривая 1) и 1500 кэВ — первое приближение МКФ (кривая 2)

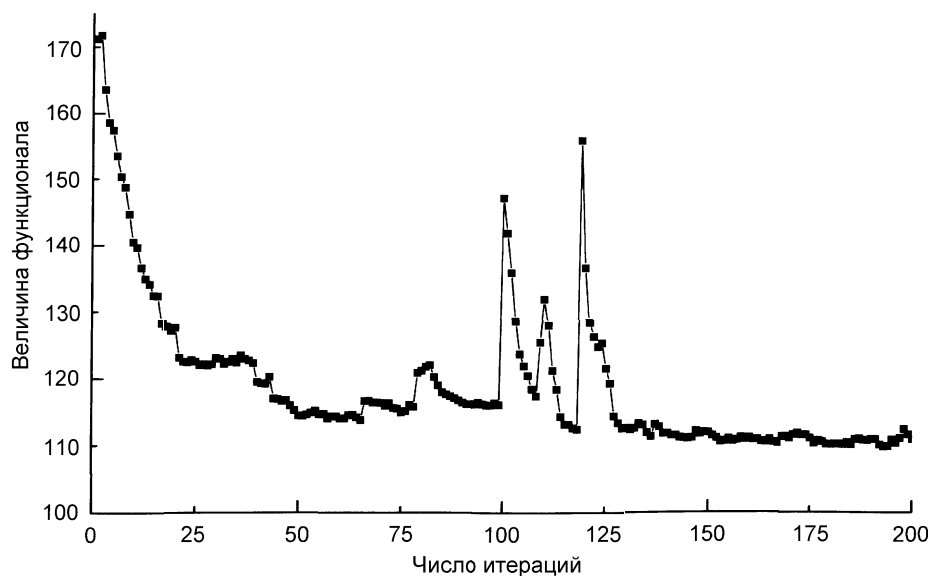


Рис. 2. Значения функционала (3) при фитировании в итерационном цикле

2.  $\sigma_i = \frac{q\sigma_{i-1} + G\sigma_{\{x_1, x_2, \dots, x_k\}}^i}{q+1}$ , где  $\sigma_{\{x_1, x_2, \dots, x_k\}}^i = (\sigma_{i-1}^1, \dots, \sigma_{i-1}^{\xi-1}, x_1, \dots, x_k, \sigma_{i-1}^{\xi+k}, \dots, \sigma_{i-1}^n)^T$ , находится при условии (4),  $\xi$  — случайное число,  $q \in N$ ,  $\alpha \in R$ ,

$$w_i = \left\{ \begin{array}{l} 0, i < \alpha\xi; \\ 1, \alpha\xi \leq i \leq \alpha(\xi + k); \\ \approx \left( \frac{\sum_{j=\xi}^{\xi+k} A_{ij}\sigma^j}{\sum_{j=\xi+k}^n A_{ij}\sigma^j} \right), i > \alpha(\xi + k) \end{array} \right\}.$$

3. Число выполняемых итераций  $p$  определяется поведением общего функционала (рис. 2). Критерий остановки итерационного процесса сформулирован в работе [2]:  $F \rightarrow \text{const}$ .

**Положение 2.** Усредненное решение МКФ представимо в виде  $\bar{\sigma} = \sum_{i=1}^l \sigma_i^{\text{pos}} / l$ , где  $\sigma_i^{\text{pos}}$ ,  $i = 1, \dots, l$  — набор возможных решений уравнения (2), найденных по положению 1. Вектор ошибок равен  $\delta_i = \sqrt{\sum_{i=1}^l (\sigma_i^{\text{pos}} - \bar{\sigma})^2} / l$ .

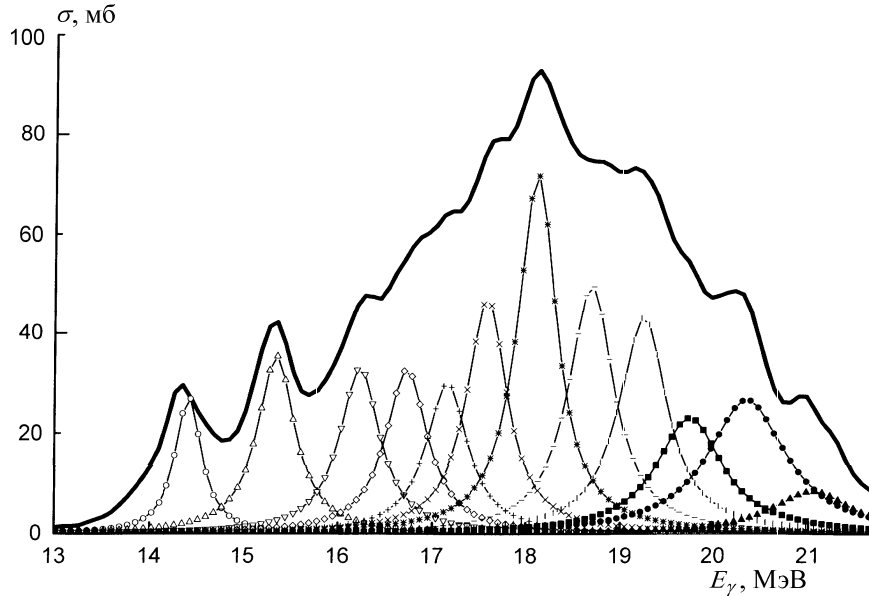


Рис. 3. Результат обработки выхода реакции  $^{63}\text{Cu}(\gamma, n)^{62}\text{Cu}$  методом кусочного фитирования (жирная кривая). Результат представлен в виде суперпозиции резонансов (кривые с метками) согласно положению 3

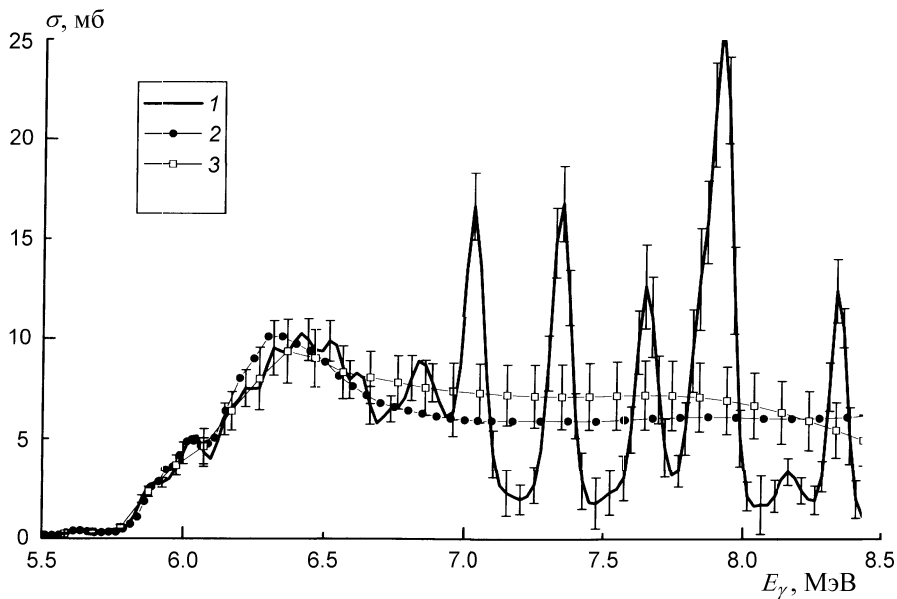


Рис. 4. Результаты обработки различными методами выхода фотоядерной реакции  $^{232}\text{Th}(\gamma, f)$ : МКФ с разрешением 100 кэВ (кривая 1), традиционным методом (кривая 2). Искусственно понизив разрешение результата МКФ, получаем кривую 3, совпадающую в пределах ошибок с результатом восстановления традиционным способом

**Положение 3.** Альтернативное представление усредненного решения МКФ представимо в виде суперпозиции резонансов

$$\bar{\sigma}(E) = \sum_{j=1}^z \frac{\bar{\Theta}^j (\bar{\Gamma}^j)^2}{(E - \bar{E}^j)^2 + (\bar{\Gamma}^j)^2},$$

где  $\bar{\Theta}^j = \sum_{i=1}^l \Theta_i^j / l$ ,  $\bar{E}^j = \sum_{i=1}^l E_i^j / l$ ,  $\bar{\Gamma}^j = \sum_{i=1}^l \Gamma_i^j / l$ ,  $z$  — число резонансов,  $j$  — номер резонанса,  $i$  — номер испытания. Параметры  $\Theta_i^j$ ,  $E_i^j$ ,  $\Gamma_i^j$  ( $i = 1, \dots, l$ ;  $j = 1, \dots, z$ ) определяются минимизацией функционалов

$$F_i(\Theta_i^1, E_i^1, \Gamma_i^1, \dots, \Theta_i^z, E_i^z, \Gamma_i^z) = \sum_{i=1}^n \left( \frac{\sigma_i^{\text{pos}} - \sigma_i^{\text{mod}}}{\delta_i} \right)^2,$$

где  $\sigma_i^{\text{pos}}$  — возможные решения уравнения (2), найденные по положению 1,

$$\sigma_i^{\text{mod}}(E) = \sum_{j=1}^z \frac{\Theta_i^j (\Gamma_i^j)^2}{(E - E_i^j)^2 + (\Gamma_i^j)^2}.$$

Ошибки  $\delta\Theta^j$ ,  $\delta E^j$ ,  $\delta\Gamma^j$  при  $j = 1, \dots, z$  задаются дисперсионной формулой.

В качестве подтверждения высказанных положений выступают факты, установленные в результате численного эксперимента: поведение общего функционала (3) в итерационном цикле показывает сходимость метода (рис. 2); найдены оптимальные значения ключевых параметров МКФ (используемых далее для физических приложений):  $k \approx 50$ ,

$n = 4k$ ,  $q = 4$ ,  $p \sim 10^2$ ,  $l \geq 20$ . Проверки на модельных сечениях показали, что модельная кривая укладывается в полученный коридор ошибок.

Пройдя тестовые испытания, МКФ был применен для восстановления экспериментальных данных, показав при этом устойчивость результата и универсальность. В работе представлены результаты восстановления сечений фотоядерных реакций  ${}^{63}\text{Cu}(\gamma, n){}^{62}\text{Cu}$  (рис. 1, 3) и  ${}^{232}\text{Th}(\gamma, f)$  (рис. 4) на основе имеющихся кривых выхода [6]. Полученные решения находятся в статистическом соответствии с результатами восстановления методом редукции [6], что подтверждает эффективность нового метода. Процедура фитирования осуществлялась с использованием пакета MINUIT [5].

Авторы выражают благодарность В.В. Варламову за плодотворное обсуждение результатов.

#### Литература

1. Ишханов Б.С., Капитонов И.М. Взаимодействие электромагнитного излучения с атомными ядрами. М., 1979.
2. Гришин В.К., Ишханов Б.С., Нефедов Г.С. // Вестн. Моск. ун-та. 2002. Физ. Астрон. № 3. С. 44 (Moscow University Phys. Bull. 2002. No. 3. P. 65).
3. Kahaner D., Moler C., Nash S. Numerical Methods and Software. Prentice-Hall International, 1989.
4. Пытьев Ю.П. Методы анализа и интерпретации эксперимента. М., 1990.
5. James F. MINUIT 94.1 (User manual). Geneva, 1994.
6. Варламов В.В., Ишханов Б.С., Руденко Д.С. Препринт НИИЯФ МГУ 2002-19/703.

Поступила в редакцию  
12.03.03

## РАДИОФИЗИКА

УДК 534

### АТТРАКТОР-ТОР В ТРЕХМЕРНОЙ АВТОНОМНОЙ МОДЕЛИ

П. В. Елютин

(кафедра квантовой электроники)

E-mail: pve@shg.phys.msu.su

**Построен пример модели трехмерной автономной модели с аттрактором-тором двухчастотного квазипериодического движения.**

Исследование устойчивого двухчастотного движения и его трансформаций в диссипативных динамических системах имеет давнюю историю. Еще в период становления теории колебаний были сформулированы основные парадигмы — гармонически зависящее от времени воздействие на автономную автоколебательную систему (синхронизация генера-

тора внешней силой) и взаимодействие двух автономных автоколебательных систем (взаимная синхронизация генераторов), — вошедшие в учебники [1, 2]. Аттрактором первой из них является цилиндр в трехмерном (расширенном) фазовом пространстве, а второй — тор в четырехмерном пространстве. Новый стимул к развитию исследование